

**© 2018 IEEE**

**Personal use of this material is permitted. Permission from IEEE must be obtained for all other uses, in any current or future media, including reprinting/republishing this material for advertising or promotional purposes, creating new collective works, for resale or redistribution to servers or lists, or reuse of any copyrighted component of this work in other works.**

This talk was presented at

20. Workshop Analogschaltungen, Freiburg, Germany, 2018.

# 20. Workshop Analogschaltungen

12. – 13. März 2018

## Analoge Verzögerungsregelschleife für die digitale HF-Pulsweitenmodulation im Frequenzbereich von 170 MHz bis 2,8 GHz in 28 nm FDSOI CMOS

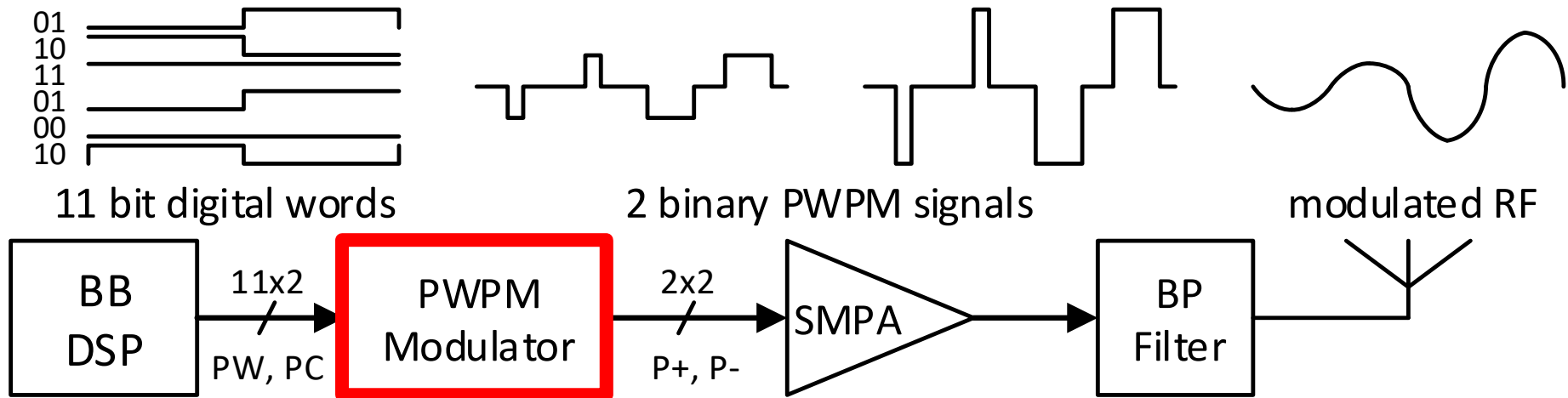
Markus Grözing<sup>1</sup>, Johannes Digel<sup>1</sup>, Thomas Veigel<sup>1</sup>, Robert Bieg<sup>1</sup>,  
Jianxiong Zhang<sup>1</sup>, Simon Brandl<sup>1</sup>, Martin Schmidt<sup>1</sup>,  
Christoph Haslach<sup>2</sup>, Daniel Markert<sup>2</sup>, Wolfgang Templ<sup>2</sup>

<sup>1</sup> Institut für Elektrische und Optische Nachrichtentechnik, Universität Stuttgart

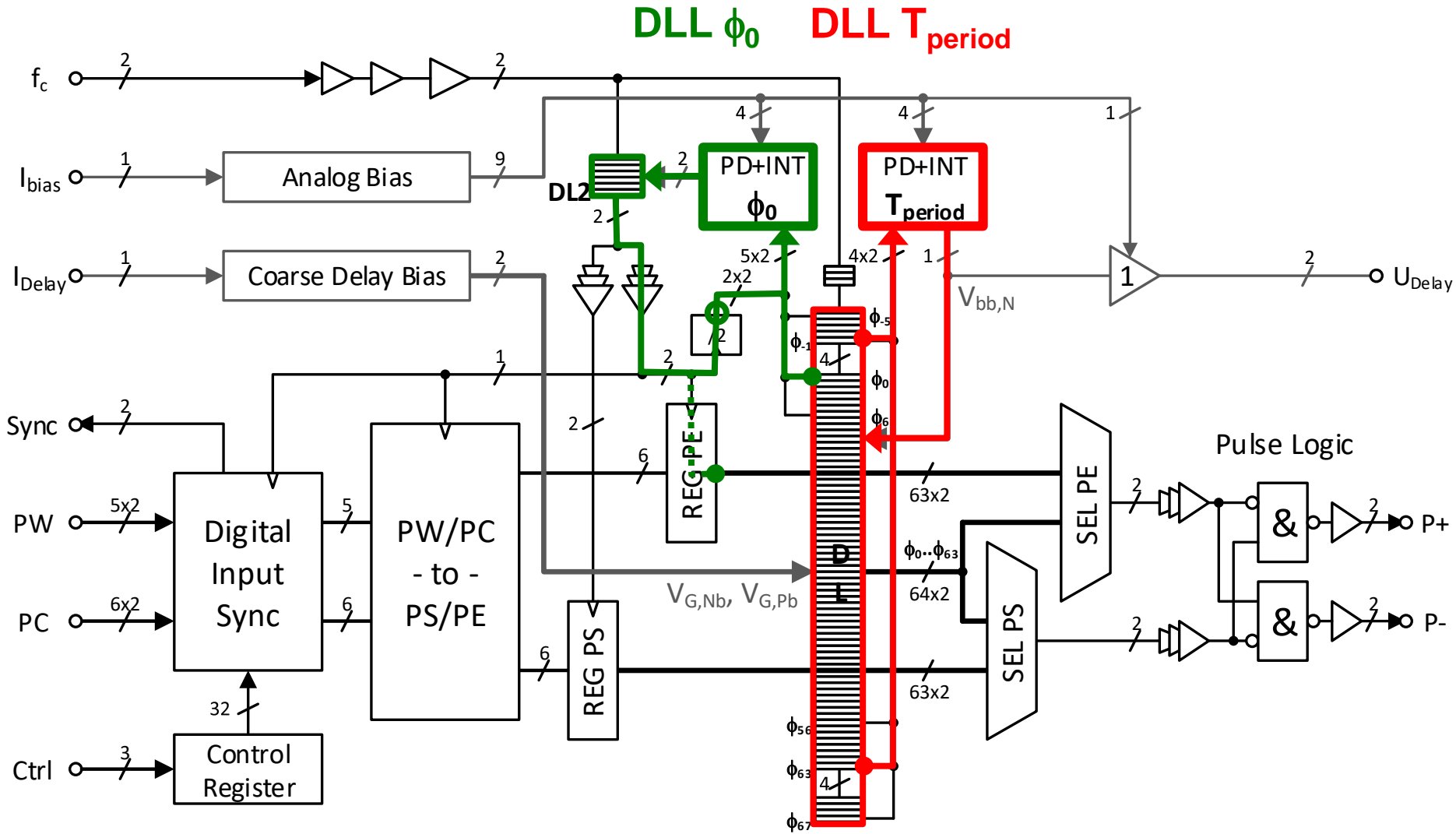
<sup>2</sup> Nokia Bell Labs, Stuttgart

- Zielanwendung
- Modulatorkonzept
- Schaltungsentwurf Verzögerungsschleife
  - Verzögerungszelle
  - Integrierender Phasedetektor
- Messergebnisse
  - Statische Konstellationsdiagramme
  - Modulierte HF-Signale
- Zusammenfassung
- Referenzen

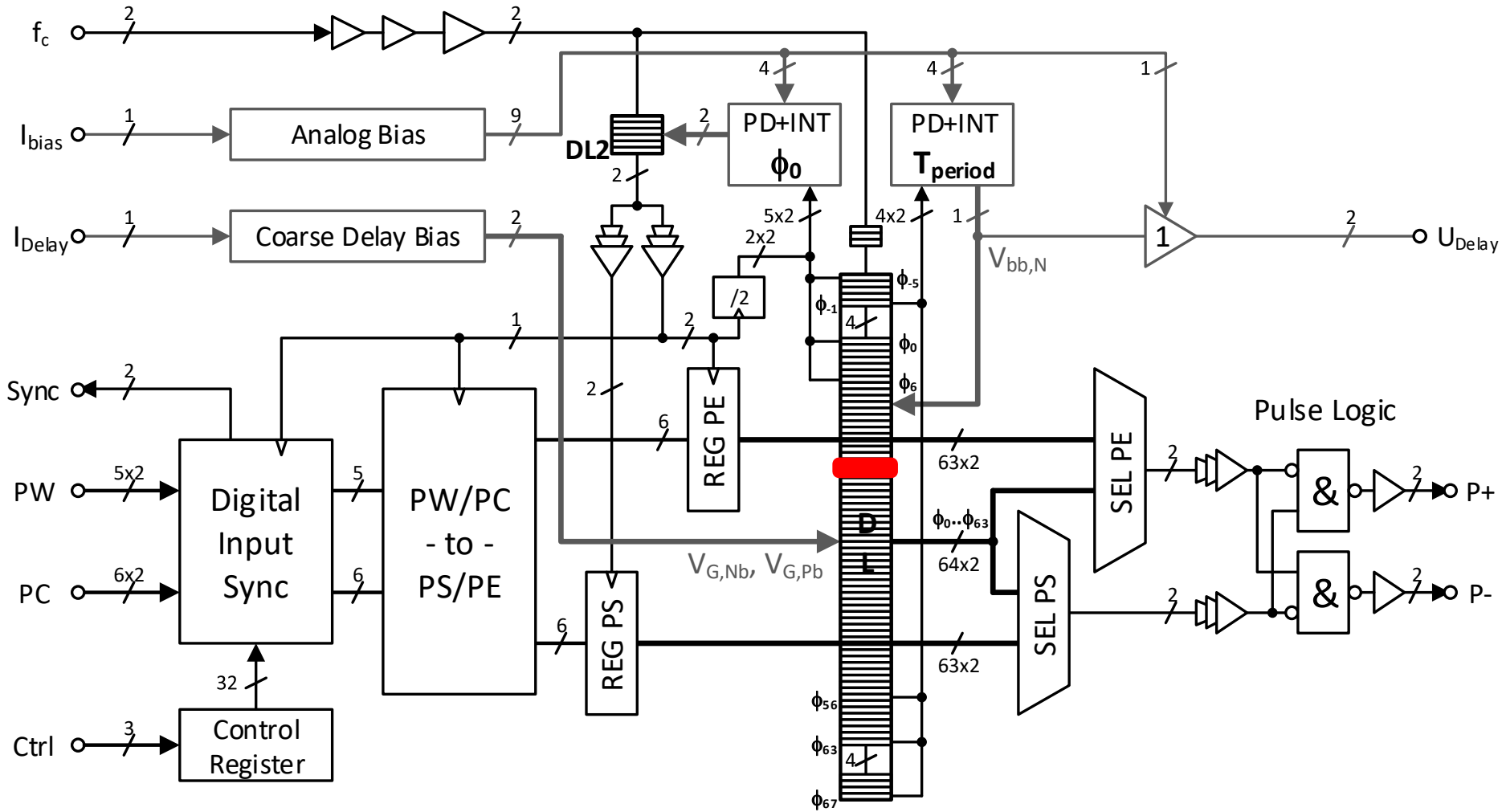
# Zielanwendung: HF-Sender mit PPWM und Schaltverstärker



# Digitaler Pulspositions- und Pulsweiten-Modulator

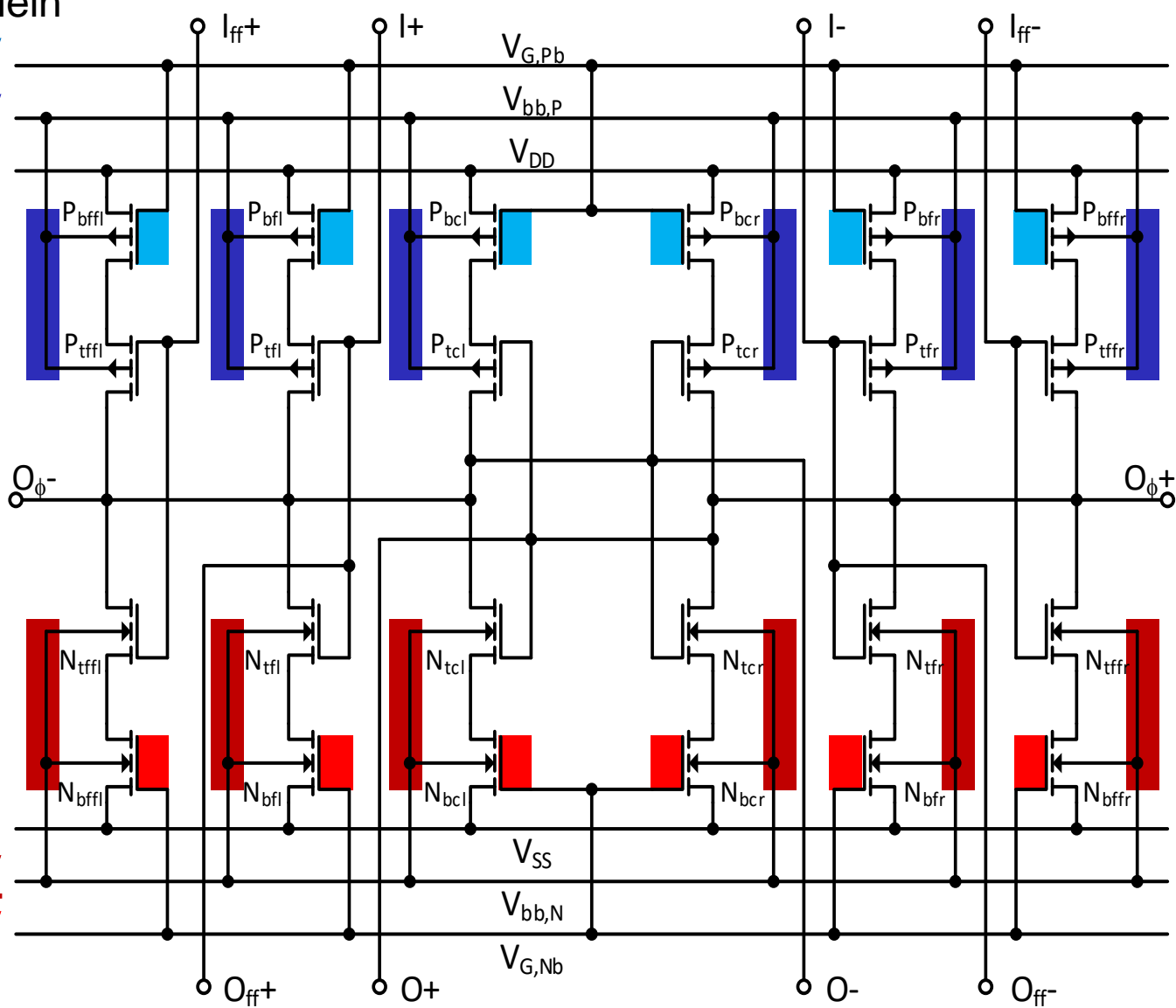


# Digitaler Pulspositions- und Pulsweiten-Modulator



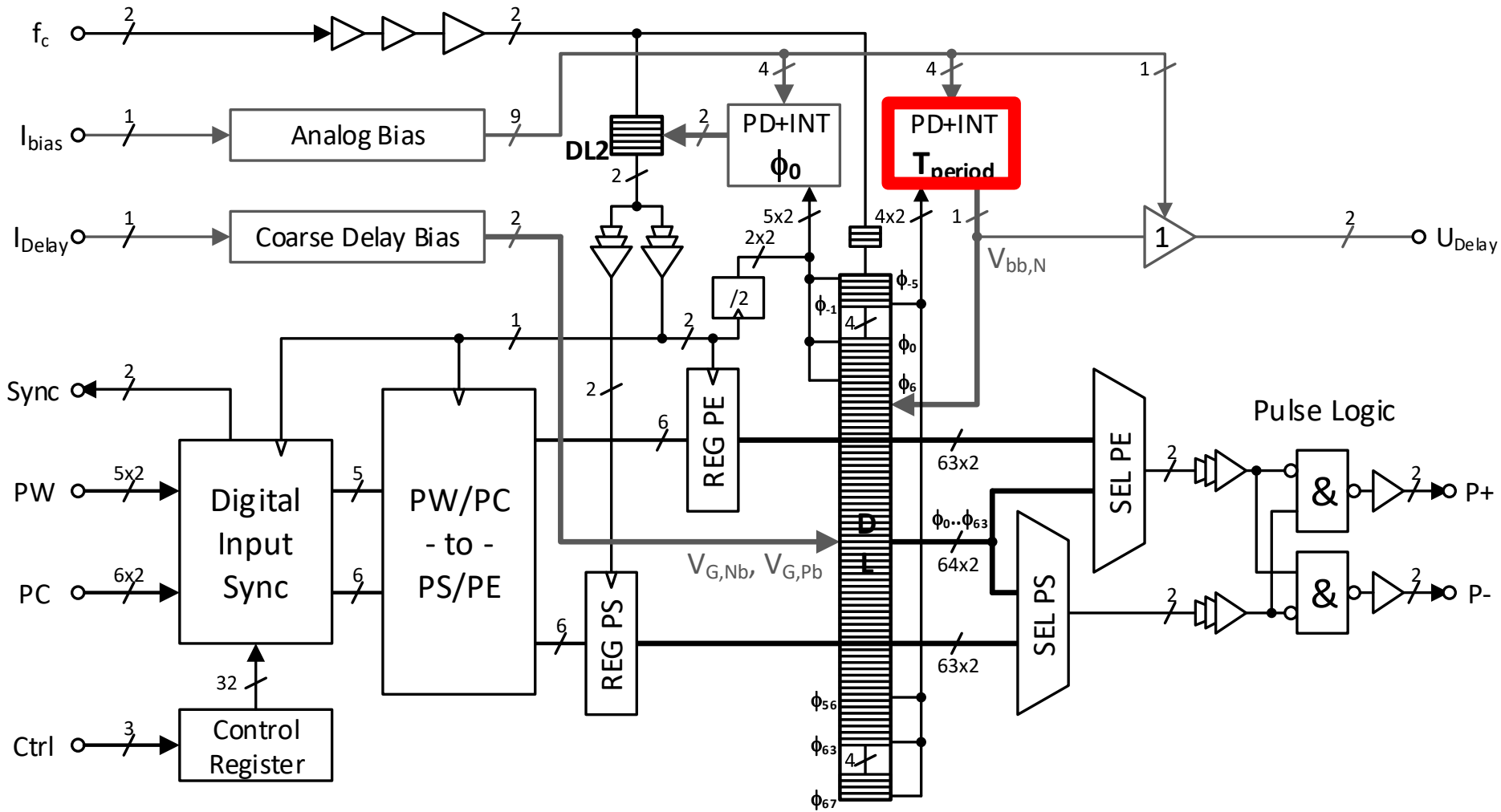
# Schaltplan Verzögerungszelle in FDSOI CMOS

Spg. Einst.  $\Delta t$  groß..klein  
 $V_{G,Pb}$  **grob** 1V..0V  
 $V_{bb,P}$  **fein** 1V..0V  
 $V_{DD}$  1V

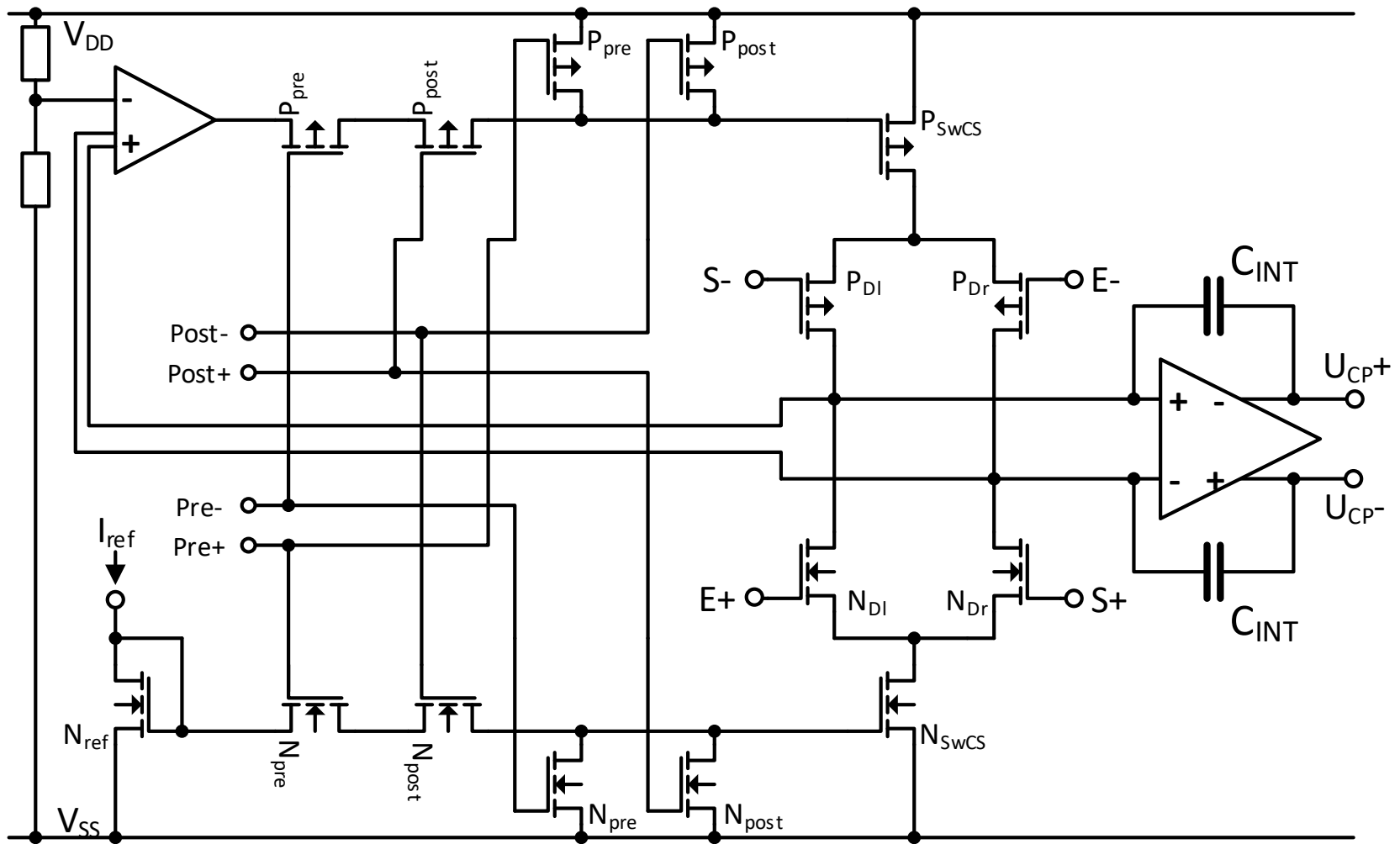


$V_{SS}$  0 V  
 $V_{bb,N}$  **fein** 0V..1V  
 $V_{G,Nb}$  **grob** 0V..1V

# Digitaler Pulspositions- und Pulsweiten-Modulator

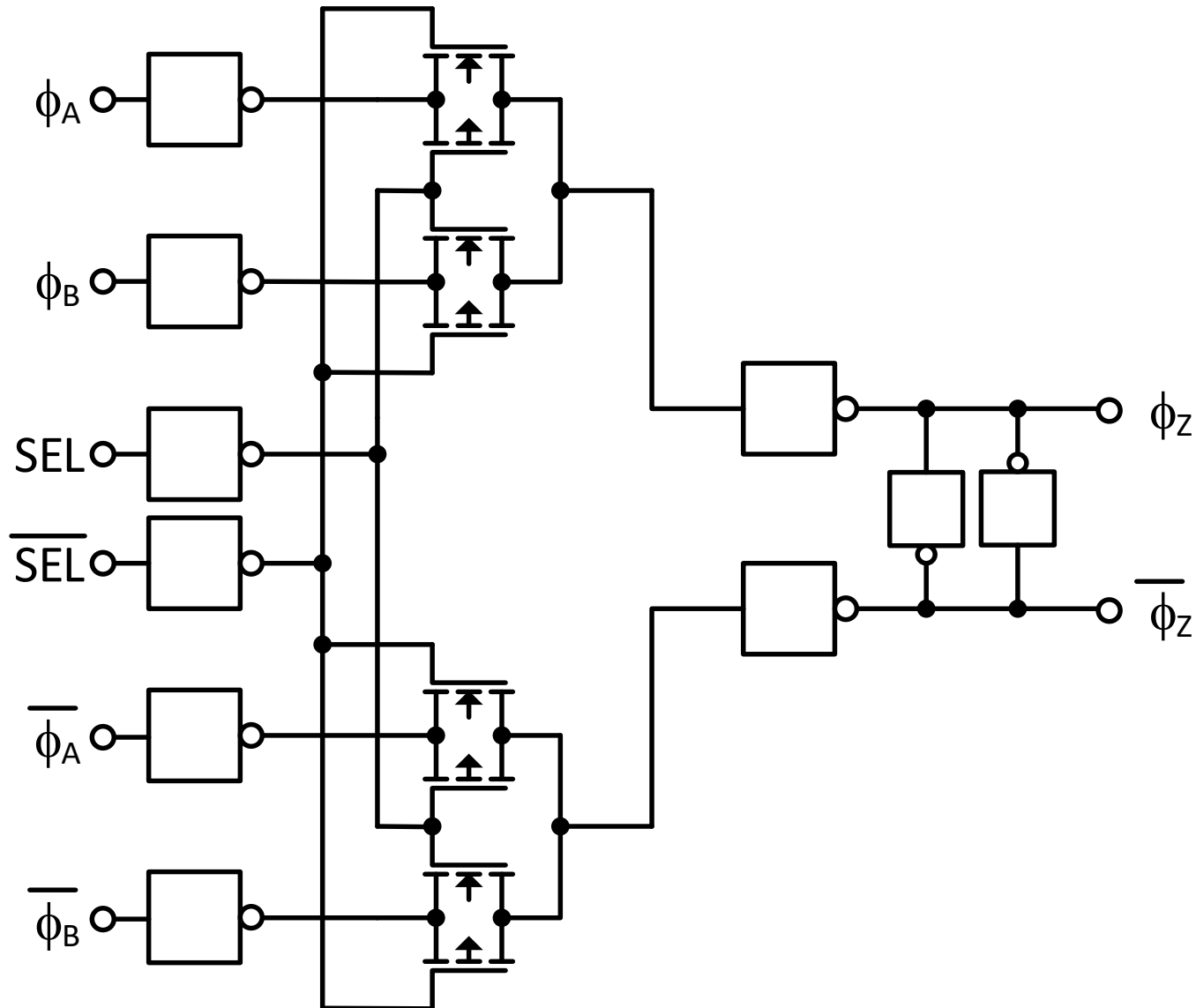


# Integrierender Stromschalter-Phasendetektor

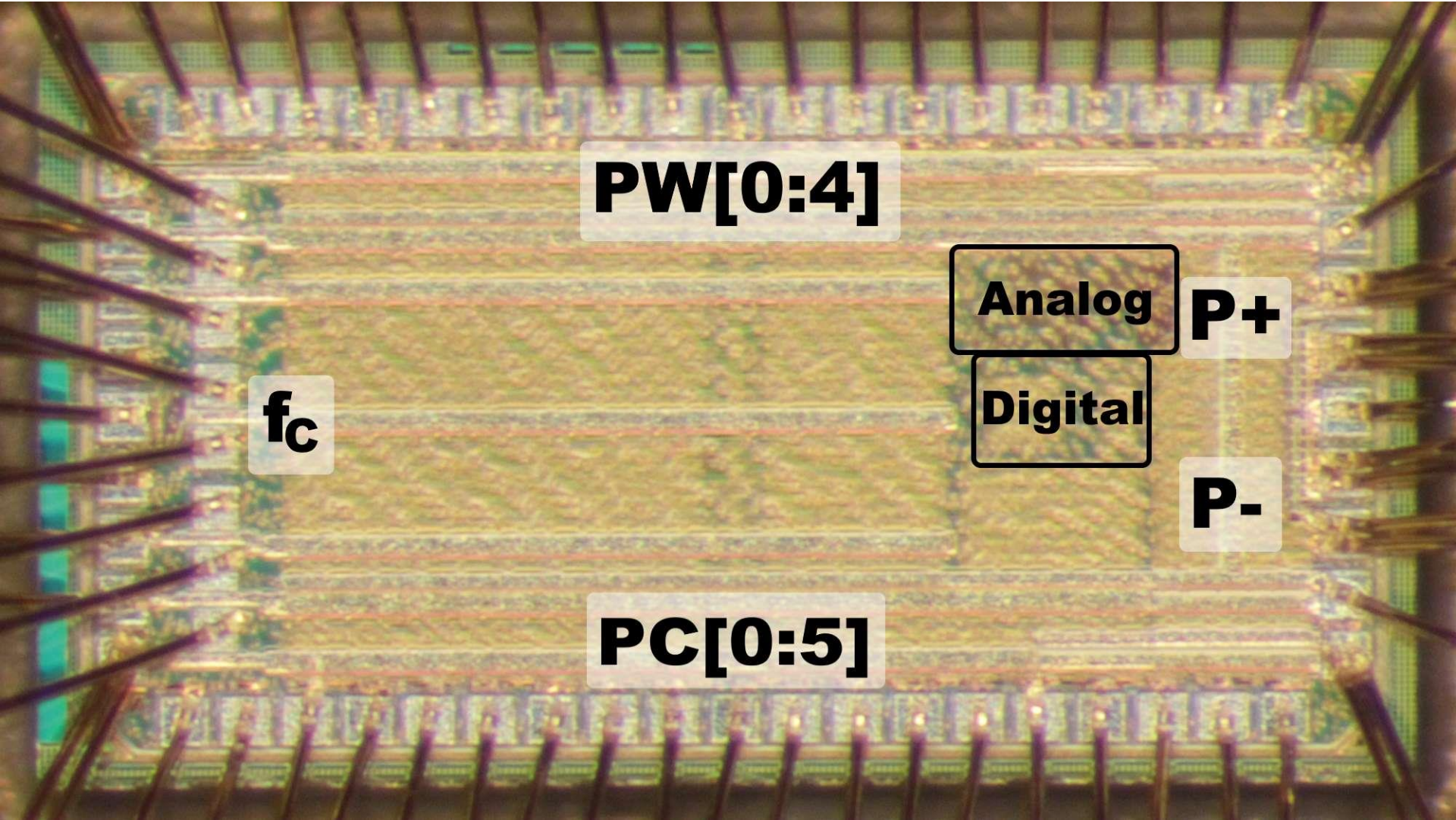




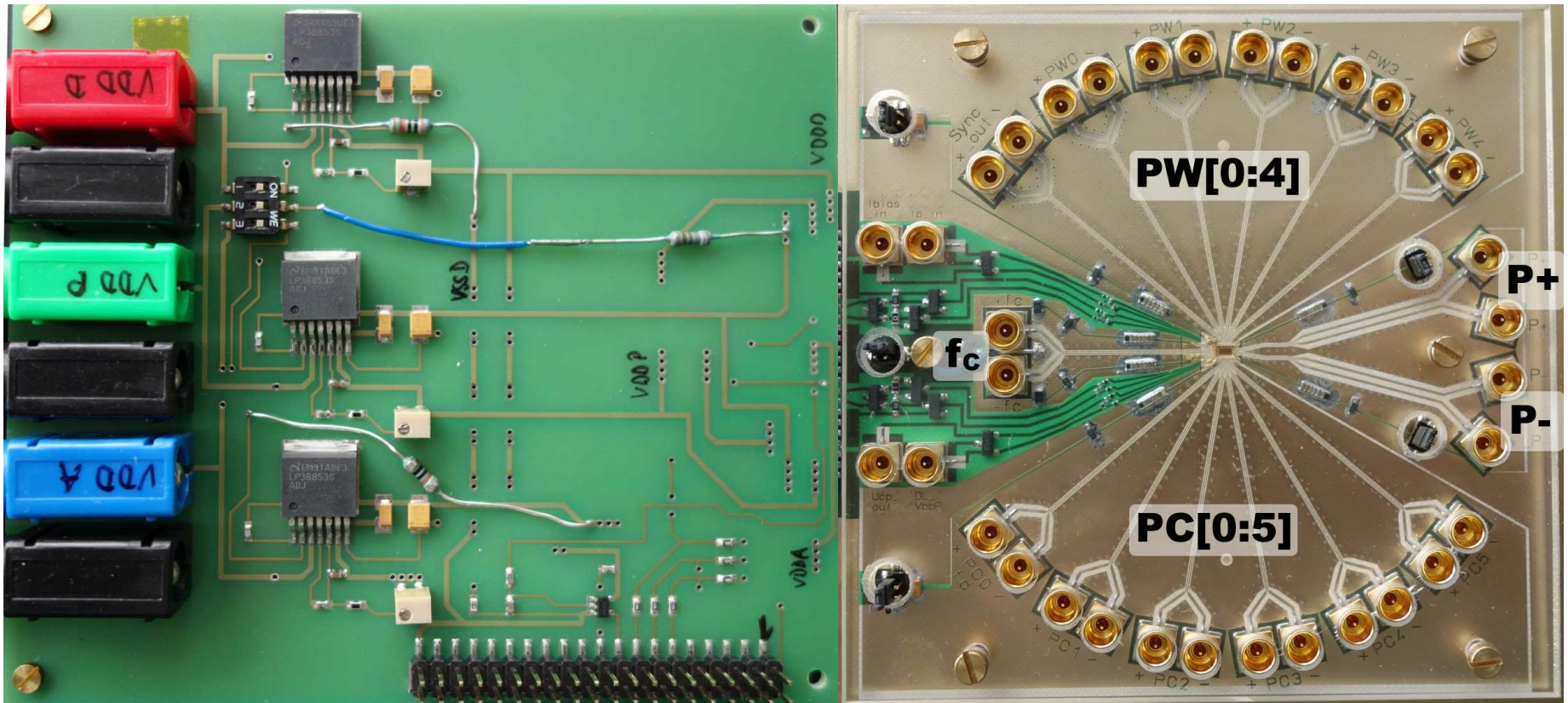
# Schaltplan 2-zu-1 Selektor



# Chipfoto HF PPWM IC: 1.9 mm x 1.0 mm

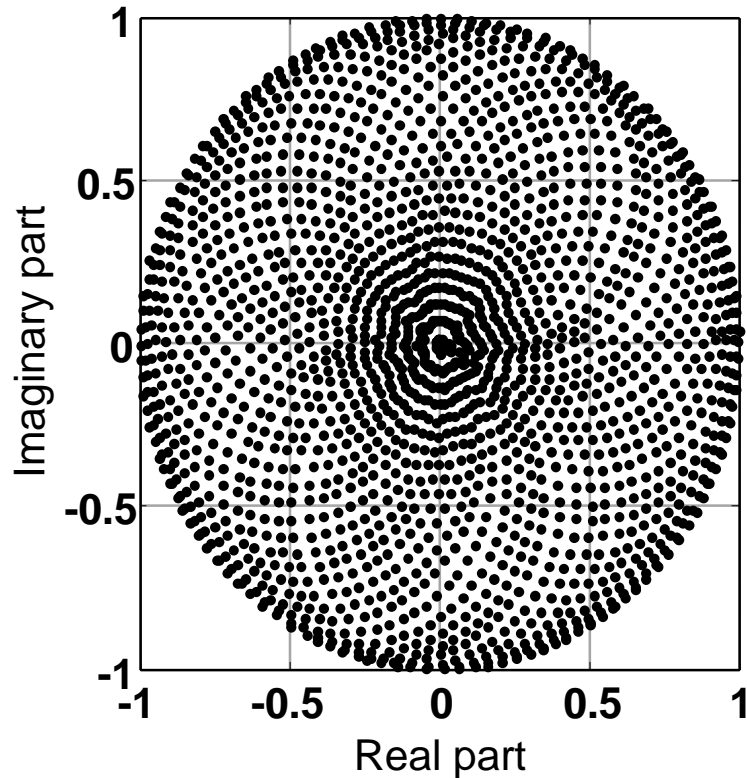


# Spannungsversorgungs- und HF-Platine

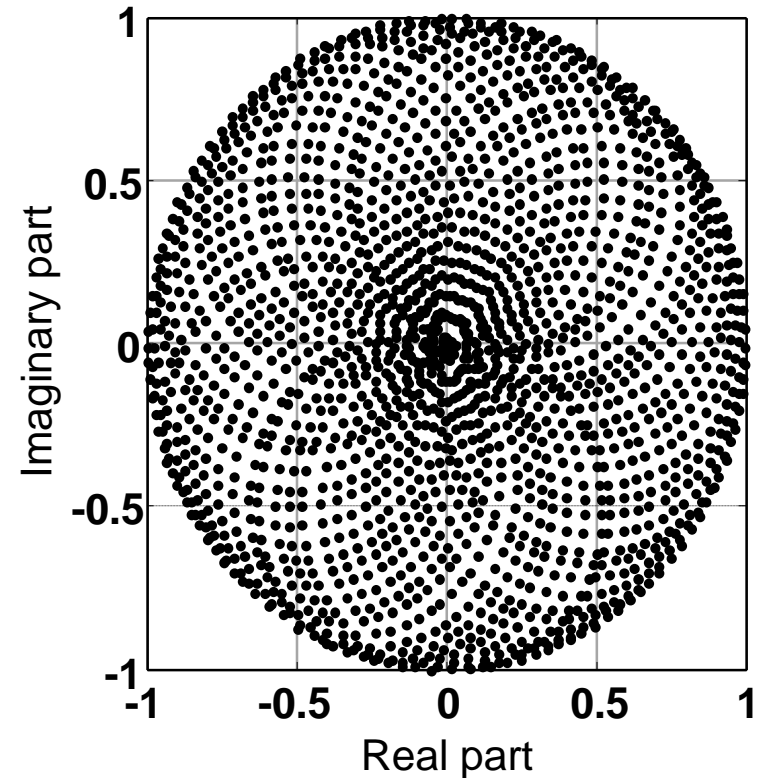


# Gemessene statische Konstellationsdiagramme

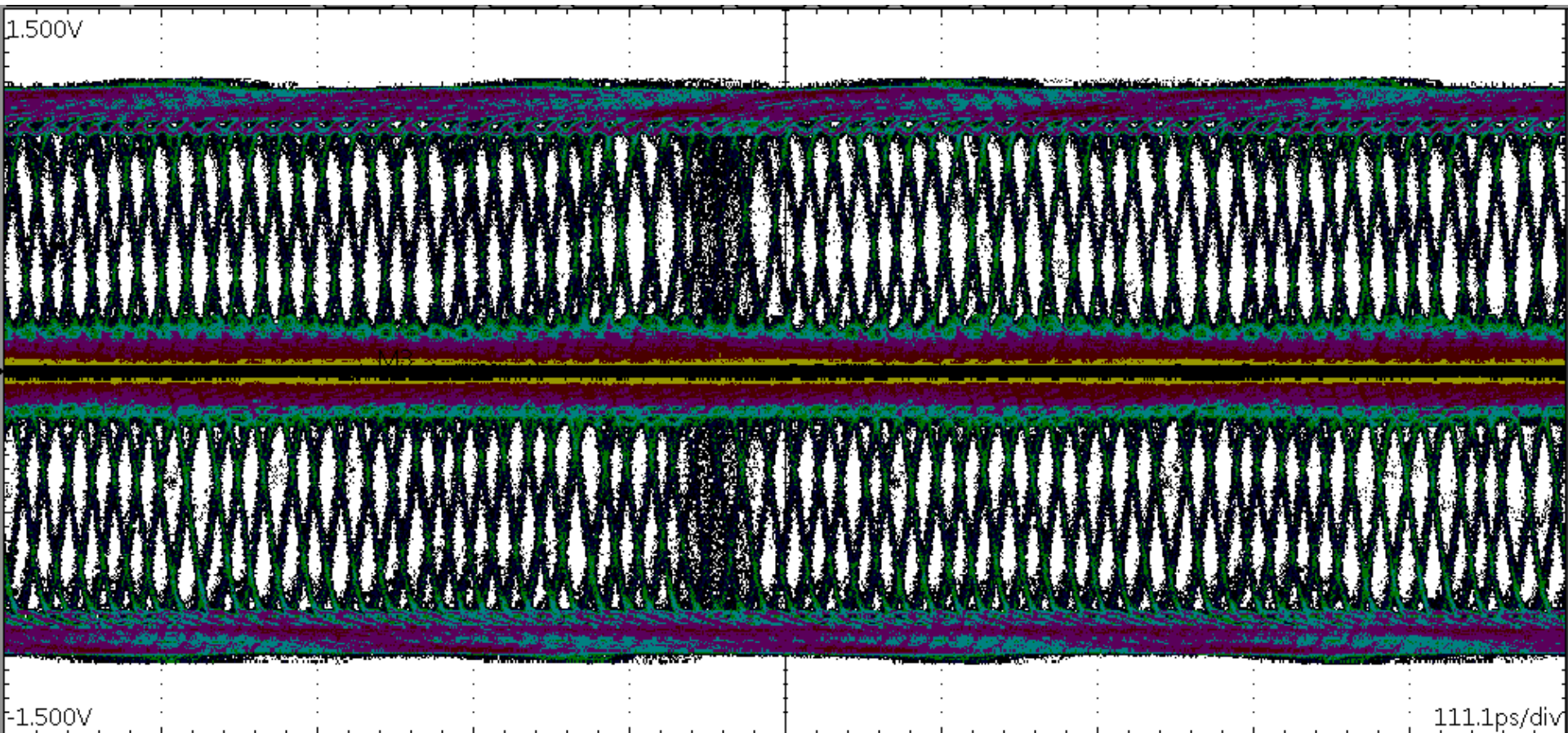
## 900 MHz



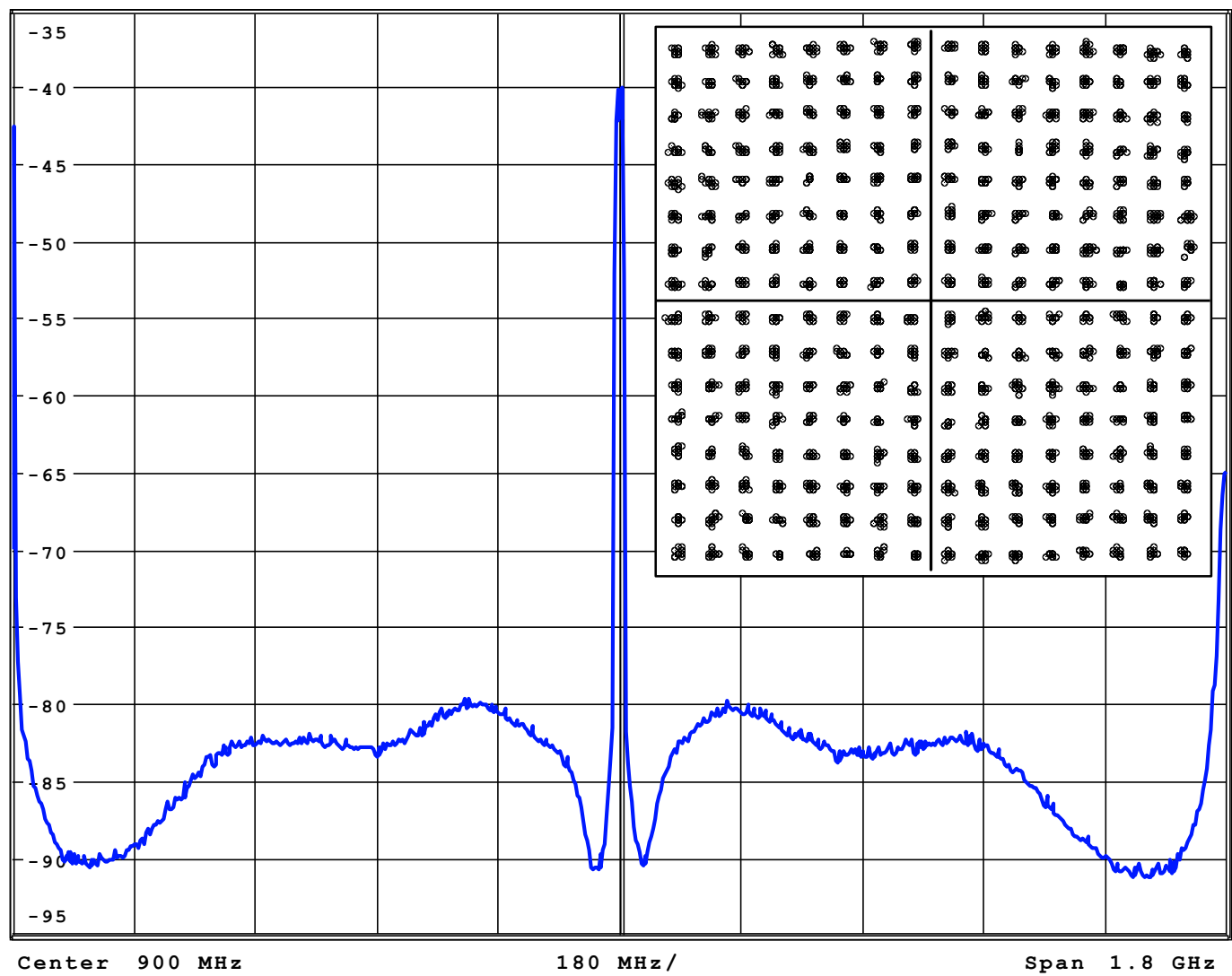
## 2016 MHz



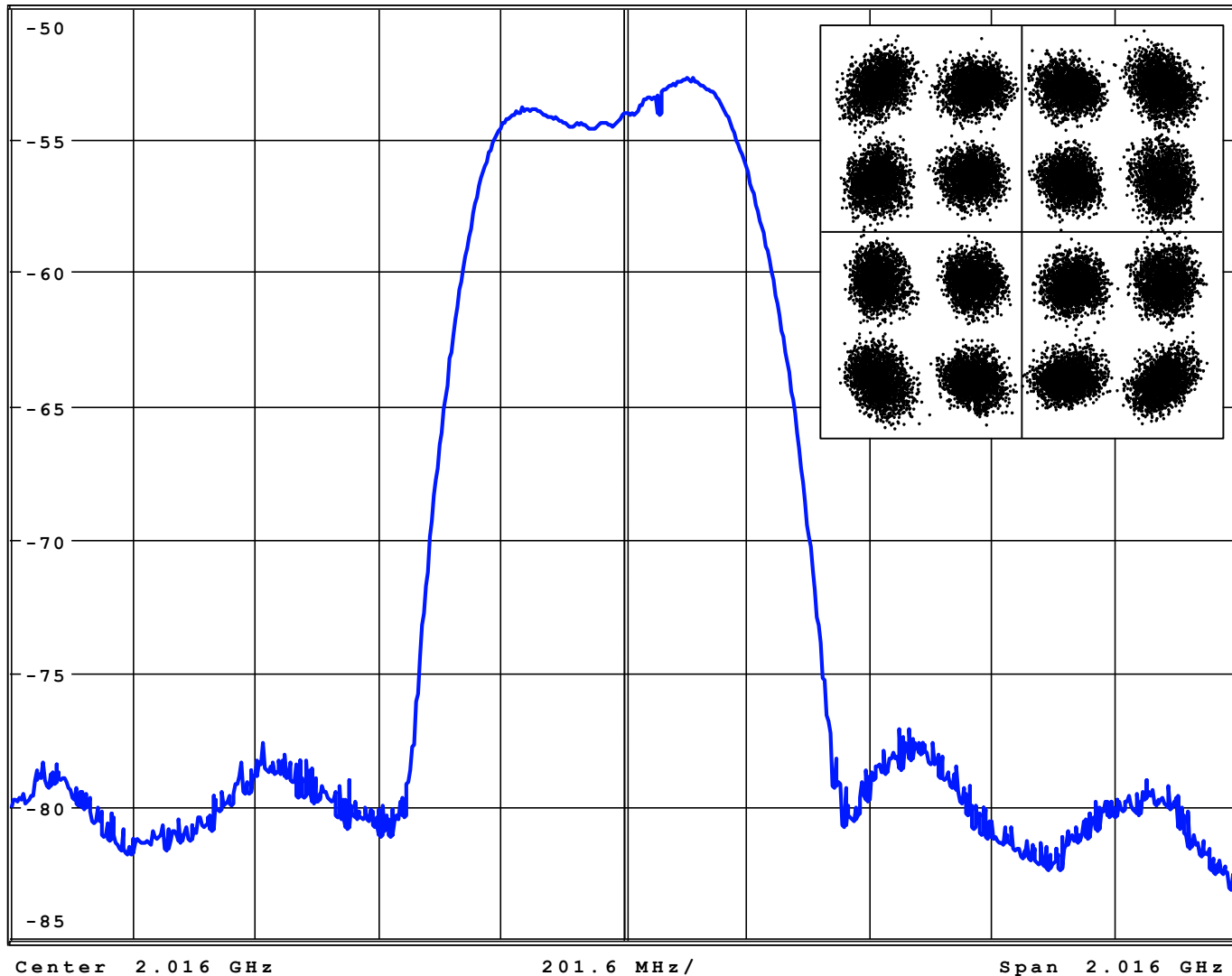
# Augendiagramm bipolares $\Sigma$ -Ausgangssignal bei 900 MHz



# 900 MHz-HF-Signal moduliert mit 14 MBd QAM-256 (112 Mb/s)



# 2016 MHz-HF-Signal mod. mit 504 MBd QAM-16 (2016 Mb/s)



# ZUSAMMENFASSUNG MESSERGEBNISSE

Property	Unit	1	2	3	4	5
Carrier freq.	MHz	<b>900</b>	2016	2016	2016	<b>2016</b>
Symbol rate	MBd	<b>14.06</b>	15.75	31.50	63.00	<b>504.0</b>
Modulation	QAM	<b>256</b>	256	256	64	<b>16</b>
Data rate	Mb/s	<b>112.5</b>	126.0	252.0	378.0	<b>2016</b>
EVM	%	<b>1.83</b>	2.36	2.47	3.97	13.5
SNDR	dB	<b>34.7</b>	32.5	32.1	28.0	17.4
BER *		$< 10^{-8}$	$1 \cdot 10^{-6}$	$3 \cdot 10^{-6}$	$1 \cdot 10^{-8}$	$1.5 \cdot 10^{-4}$ **
Ch. BW	MHz	18.0	22.5	45.0	90.0	720
Ch. spacing	MHz	20.0	25.0	50.0	100.0	800
BW efficiency	b/Hz	6.22	5.6	5.6	4.2	2.8
ACLR1 <sub>,Lower</sub>	dB	<b>-44.8</b>	-42.9	-42.2 /	-38.4	-24.7
ACLR1 <sub>,Upper</sub>	dB	<b>-44.8</b>	-41.8	-40.7	-36.1	-25.1
ACLR2 <sub>,Lower</sub>	dB	<b>-49.2</b>	-49.0	-45.7 /	-36.1	-20.1
ACLR2 <sub>,Upper</sub>	dB	<b>-48.6</b>	-47.1	-43.6	-37.3	-23.7

\*) estimated [6] \*\*) measured

# VERGLEICH MIT DEM STAND DER TECHNIK

Property	Unit	[7]	[8]	[9]	[10]	This Work
CMOS techn.	nm	32	40	45	28	28
carrier frequen. range	GHz	2.4	0.9 - 2.6	1.0 - 3.0	0.35 - 2.6	0.17 - 2.8
max signal BW <sup>1</sup>	MHz	40	40	N/A	400	<b>504</b>
binary outputs		yes	yes	yes	no	<b>yes</b>
carrier freq.	MHz	2400	2000	2400	2000	2016
DC power	mW	82	91	35	670	58
signal type		WLAN	WLAN	GMSK	OFDM	SC RC <sup>2</sup>
QAM order		64	64	4	64	<b>256</b>
data rate	Mb/s	54	54	20	120	126
bandwidth	MHz	20	20	N/A	20	<b>22.5</b>
EVM	dB	-32	-29	-33.5	-29	<b>-32.5</b>
PAPR	dB	N/A	8 <sup>3</sup>	0	8	<b>6.5</b>
ACLR1	dBc	N/A	-30 <sup>3</sup>	N/A	-40	-42

1) demonstr. by experiment 2) single carrier raised cosine with  $\beta = 0.5$

3) 20 MHz BW DMT signal

# ZUSAMMENFASSUNG

- Technologie: 28 nm FDSOI CMOS (STM)
- Versorgungsspannung: 3x 1.0 V (Digitalteil, Analoge DLL, Ausgang)
- Leistungsaufnahme: 38 mW bei 900 MHz  
58 mW bei 2016 MHz
- Verzögerungszelle
  - Voll-Differenziell
  - Gestapelte MOSFETs zur Verzögerungszeit-Kontrolle
  - Grob-Einstellung über Gate-Spannung
  - Fein-Einstellung über Backgate-Spannung
- Integrierender Phasendetektor
  - Neue Topologie
  - Ohne Latch / Gedächtnis
  - Sehr geringe Jitter-Erzeugung
- PPWM-HF-Ausgangssignale mit
  - größter Signalbandbreite (504 MBaud bei QAM-16)
  - höchste Modulationsordnung (QAM-256, bei 14 MBaud)
  - gutes EVM (1,83 %) für Modulation mit veränderlicher Einhüllender/Amplitude (PAPR = 6.5 dB, QAM-256) bei 14 MBaud
- Sauberes Spektrum fern vom Träger  
wegen hoher Update-Rate für PW&PC ( $f_{\text{Update}} = f_{\text{RF}}$ )

# Referenzen

1. S. Heck, M. Schmidt, A. Bräckle, F. Schuller, M. Grözing, M. Berroth, H. Gustat, and C. Scheytt, "A switching-mode amplifier for class-S transmitters for clock frequencies up to 7.5 GHz in 0.25 $\mu$ m SiGe-BiCMOS", in *RFIC 2010*, Anaheim, CA, 2010.
2. F. Raab, "Radio Frequency Pulsewidth Modulation", *IEEE Trans. Commun.*, vol. 21, no. 8, pp. 958–966, 1973.
3. J. S. Walling, H. Lakdawala, Y. Palaskas, A. Ravi, O. Degani, K. Soumyanath, and D. J. Allstot, "A Class-E PA With Pulse-Width and Pulse-Position Modulation in 65 nm CMOS", *IEEE J. Solid-State Circuits*, vol. 44, no. 6, pp. 1668–1678, 2009.
4. J. Digel, M. Grözing, M. Schmidt, M. Berroth, and C. Haslach, "Digital pulse-width pulse-position modulator in 28 nm CMOS for carrier frequencies up to 1 GHz", in *RFIC 2015*, Phoenix, AZ, USA, 2015.
5. D. Markert, X. Yu, H. Heimpel, and G. Fischer, "An All-Digital, Single-Bit RF Transmitter for Massive MIMO", *IEEE Trans. Circuits Syst. I*, vol. 64, no. 3, pp. 696–704, 2017.
6. A. Svensson, "An Introduction to Adaptive QAM Modulation Schemes for Known and Predicted Channels", *Proc. IEEE*, vol. 95, no. 12, pp. 2322–2336, 2007.
7. P. Madoglio, A. Ravi, H. Xu, K. Chandrashekar, M. Verhelst, S. Pellerano, L. Cuellar, M. Aguirre, M. Sajadieh, O. Degani, H. Lakdawala, and Y. Palaskas, "A 20dBm 2.4GHz digital outphasing transmitter for WLAN application in 32nm CMOS", in *ISSCC 2012*, San Francisco, CA, USA, 2012.
8. S. Kulkarni, I. Kazi, D. Seebacher, P. Singerl, F. Dielacher, W. Dehaene, and P. Reynaert, "Multi-standard wideband OFDM RF-PWM transmitter in 40nm CMOS", in *ESSCIRC 2015*, Graz, Austria, 2015.
9. H. Gheidi, T. Nakatani, V. W. Leung, and P. M. Asbeck, "A 1–3 GHz Delta–Sigma-Based Closed-Loop Fully Digital Phase Modulator in 45-nm CMOS SOI", *IEEE J. Solid-State Circuits*, vol. 52, no. 5, pp. 1185–1195, 2017.
10. M. Kosunen, J. Lemberg, M. Martelius, E. Roverato, T. Nieminen, M. Englund, K. Stadius, L. Anttila, J. Pallonen, M. Valkama, and J. Ryyanen, "13.5 A 0.35-to-2.6GHz multilevel outphasing transmitter with a digital interpolating phase modulator enabling up to 400MHz instantaneous bandwidth", in *ISSCC 2017*, San Francisco, CA, USA, 2017.